

ОБЪЕДИНЕННЫЙ
ИНСТИТУТ
ЯДЕРНЫХ
ИССЛЕДОВАНИЙ
ДУБНА



С 343 а
Т-454

Р4 - 7131

320 8/2-73

А.И.Титов

КВАЗИКЛАССИЧЕСКОЕ РАССМОТРЕНИЕ
РАСЩЕПЛЕНИЯ ЛИТИЯ В ОБЛАСТИ
ОКОЛОБАРЬЕРНЫХ ЭНЕРГИЙ

1973

ЛАБОРАТОРИЯ
ТЕОРЕТИЧЕСКОЙ ФИЗИКИ

Р4 - 7131

А.И.Титов

КВАЗИКЛАССИЧЕСКОЕ РАССМОТРЕНИЕ
РАСЩЕПЛЕНИЯ ЛИТИЯ В ОБЛАСТИ
ОКОЛОБАРЬЕРНЫХ ЭНЕРГИЙ

Направлено в ЯФ

§1. Введение

В реакции взаимодействия лития с ядром одним из самых мощных каналов /после упругого рассеяния/ является расщепление лития в поле ядра на альфа-частицу и дейтон. Интерес к таким реакциям обусловлен, с одной стороны, спецификой их механизма в условиях сильной связи каналов развала и упругого рассеяния, с другой, - попыткой извлечь информацию о структуре ядерного взаимодействия, например, потенциалы между сталкивающимися ядрами в области околобарьерных энергий. В этом отношении ионы лития удобны тем, что для них канал расщепления идет в основном только через возбуждение одного низколежащего 3D_1 /2,184 Мэв/ состояния лития, которое лежит в непрерывном спектре и быстро распадается. Следующее по энергии возбуждения состояние отличается от основного перестройкой внутренних кластерных функций, и поэтому соответствующие ему матричные элементы потенциала взаимодействия оказываются малыми. Другие уровни лития с большей энергией возбуждения /1,2/ /4,52; 5,5 Мэв и выше/ дают пренебрежимый вклад в сечение, поскольку оно экспоненциально убывает с ростом энергии возбуждения.

Далее, ионы лития относятся к тяжелым ионам, их относительное движение хорошо описывается классической траекторией, и поэтому процесс неупругого рассеяния можно рассматривать в рамках простого, квазиклассического варианта метода сильной связи каналов, развитого для реакций неупругого рассеяния с возбуждением частиц в околобарьерной области энергий /3/.

Ранее качественный анализ сечения возбуждения 3D_3 уровня лития проводился для подбарьерных энергий в рамках первого порядка теории кулоновского возбуждения в работе /4/. В работе /5/ то же сечение исследовалось на основе квазиклассического варианта метода искаженных волн в забарьерной области энергий.

Цель настоящей работы - дать конкретный теоретический анализ реакций расщепления лития в наиболее интересной области энергий, вблизи кулоновского барьера, где ядерные силы только начинают вступать в игру, и сравнить полученные результаты с имеющимися экспериментальными данными.

Рассмотрение ведется в рамках метода сильной связи каналов, который позволяет также изучить важный методический вопрос о взаимном влиянии каналов развала и упругого рассеяния. Кроме того, ряд расчетов выполнен для выяснения физики явления - изучена зависимость сечения от структурных параметров лития и роль ядерного взаимодействия в механизме реакции.

§2. Сечение расщепления

В задачах рассеяния тяжелых ионов в силу условия

$$\eta \gg 1 \quad (\eta = \frac{z_p z_T e^2}{h v})$$

можно использовать квазиклассическое приближение. Для неупругого рассеяния оно сводится к решению задачи в два этапа. Вначале отыскивается классическая траектория $\vec{r}(t)$ относительного движения ядер в поле среднего ядерного и кулоновского потенциала $\bar{V}(r)$. Затем функция $\vec{r}(t)$ подставляется в оставшуюся часть взаимодействия $V_{int}(\xi, \vec{r})$, которое теперь зависит от времени и координат внутреннего движения ядра - ξ /в данном случае лития/. Потенциал V_{int} играет роль внешнего поля, которое вызывает возбуждение ядра. В случае, когда кинетическая энергия сталкивающихся частиц E_k значительно превосходит энергию возбуждения уровня ΔE , движение центра тяжести альфа-частицы и дейтона в среднем поле $\bar{V}(r)$ не

зависит от их относительного движения. Тогда сечение расщепления лития выражается через амплитуду возбуждения α_1 уровня 3D_3 , который дает основной вклад в канал развала, амплитуду распада из этого состояния Γ_1 и сечение "упругого рассеяния центра тяжести" лития σ_{el} :

$$d\sigma_{dis} = d\sigma_{el} F d\vec{q}. \quad /1/$$

Здесь

$$F = \frac{1}{2I_0 + 1} \sum_{M_0 \sigma} \left| \sum_M \Gamma_1(q, s\sigma; IM) \alpha_1(IM, I_0 M_0) \right|^2, \quad /2/$$

s - спин дейтона, σ - его проекция, \vec{q} - волновой вектор относительного движения альфа-частицы и дейтона. Амплитуда распада Γ_1 имеет вид /3/

$$\Gamma_1(q, s\sigma; IM) = \langle s\sigma LM_L | IM \rangle \frac{A(q)}{q} Y_{LM_L}(\hat{q}), \quad /3/$$

$$A^2(q) = \frac{\hbar}{\pi} \sqrt{\frac{2E_0}{\mu}} \frac{\Gamma/2}{(\hbar^2 q^2/2\mu - E_0)^2 + \Gamma^2/4}, \quad /4/$$

где $\mu = \frac{m_1 m_2}{m_1 + m_2}$; m_1, m_2 - массы дейтона и альфа-частицы, E_0 - резонансная энергия уровня /энергия уровня относительно порога развала/, $E_0 = 0,713$ Мэв, Γ - его ширина / $\Gamma = 21$ кэв/, L - орбитальный момент / $L = 2$ /.

Для определения амплитуд α_1 нужно решить уравнение Шредингера:

$$i\hbar \frac{\partial \psi(\xi, t)}{\partial t} = [H_0(\xi) + V_{int}(\xi, r(t))] \psi(\xi, t). \quad /5/$$

Его решение естественно искать в виде разложения:

$$\psi(\xi, t) = \sum_{\nu} \alpha_{\nu} e^{-iE_{\nu}t/\hbar} |\nu\rangle \quad /6/$$

по функциям ядра в отсутствие внешнего поля

$$H_0 |\nu\rangle = E_\nu |\nu\rangle. \quad /7/$$

Тогда для a_ν получаем систему связанных уравнений:

$$i\hbar \frac{\partial a_\nu}{\partial t} = \sum_{\nu'} e^{i\omega_{\nu\nu'} t} A(\nu\nu') a_{\nu'} \quad /8/$$

с начальным условием:

$$a_\nu(t = -\infty) = \delta_{\nu\nu_0}. \quad /9/$$

где

$$\begin{aligned} \omega_{\nu\nu'} &= (E_\nu - E_{\nu'})/\hbar, \\ A(\nu\nu') &= \langle \nu | V_{int} | \nu' \rangle, \\ |\nu\rangle &= |IMLSN\rangle. \end{aligned} \quad /10/$$

Сечение "упругого рассеяния" $\bar{\sigma}_{e\ell}$ в /1/ можно представить в виде:

$$\bar{\sigma}_{e\ell} = \sigma_{e\ell}^c \cdot \chi, \quad /11/$$

где $\sigma_{e\ell}^c$ - сечение упругого рассеяния на действительной части потенциала $V(r)$, а χ - вероятность частицам остаться либо в упругом канале, либо в канале возбуждения 3D_3 уровня.

Сечение упругого рассеяния с учетом всех каналов определится по формуле:

$$\sigma_{e\ell} = \bar{\sigma}_{e\ell} \cdot P_0, \quad /12/$$

где

$$P_0 = \frac{l}{2l_0 + l} \sum_{M_0} |a_{\nu_0}|^2.$$

С другой стороны, обычно упругое рассеяние описывают, не выделяя в явном виде канал развала, что соответствует представлению сечения как

$$\sigma_{e\ell} = \sigma_{e\ell}^0 \cdot \gamma, \quad /13/$$

где γ выражается через мнимую часть \mathbb{W} оптического потенциала:

$$\gamma = \exp\left(-\frac{2}{\hbar} \int_{-\infty}^{+\infty} \mathbb{W}(r(t)) dt\right). \quad /14/$$

Таким образом, множитель γ определяется из экспериментов по упругому рассеянию и имеет смысл вероятности частицам остаться в упругом канале, в то время как величина $1 - \gamma$ есть вероятность перехода во все неупругие каналы, включая и канал развала. Итак, из соотношений /11/-/13/ можно определить важную для нас величину χ , которая определяет сечение $\sigma_{e\ell}$:

$$\chi = \gamma / P_0. \quad /15/$$

Если теперь ввести вероятность возбуждения 3D_3 уровня

$$P_1 = \frac{I}{2I_0 + I} \sum_{M_1 M_0} |\sigma_{\nu_1}|^2, \quad /16/$$

то отношение

$$\delta = \frac{P_1}{1 - \gamma} \quad /17/$$

будет определять меру эффективности канала развала по отношению ко всем неупругим каналам. Если δ близка к единице, то канала развала - доминирующий.

С учетом формул /1/, /11/, /15/ дифференциальное сечение канала развала принимает вид:

$$d^3\sigma_{dis} = \frac{d\sigma_{e\ell}}{d\Omega_k} \frac{F}{P_0} S(\hat{k}, \hat{q}; \hat{k}_2, \hat{k}_1) d\Omega_2 d\hat{k}_1, \quad /18/$$

где \vec{k} - волновой вектор относительного движения центров масс, \vec{k}_1 и \vec{k}_2 - волновые векторы дейтона и альфа-частицы, $S(k\vec{q}; k_2 k_1^2)$ - якобиан преобразования от переменных \vec{k} и \vec{q} к экспериментально наблюдаемым - \vec{k}_1 и \vec{k}_2 . В частном случае, отвечающем обычной постановке экспериментов по развалу, когда обе вылетающие частицы лежат в плоскости пучка, т.е. разность азимутальных углов $\phi_1 - \phi_2$ равна либо нулю - частицы регистрируются по одну сторону от пучка, либо π - частицы регистрируются по разные стороны от пучка, якобиан преобразования S имеет вид:

$$S = \frac{1}{k_1 k} \left\{ (d_1 - d_2) \{ (d_1 k_1)^2 \frac{\sin \theta_1}{\sin \theta_2} + d_1 d_2 k_2^2 \frac{\sin \theta_2}{\sin \theta_1} + (d_1^2 + d_1 d_2) k_1 k_2 \cos(\phi_1 - \phi_2) \} \right\}, \quad /19/$$

где

$$d_i = \frac{m_j}{m_i + m_j} (-1)^j; \quad j, i = 1, 2;$$

m_2, m_1 - массы альфа-частицы и дейтона. Полное сечение канала развала, проинтегрированное по всем углам вылетающих частиц и импульсу hq , равно:

$$\sigma_{dis} = \int \frac{d\sigma_{el}}{d\Omega_k} \cdot \frac{F}{p_0} \cdot d\Omega_k d\vec{q}. \quad /20/$$

Таким образом, основная задача нахождения полных и дифференциальных сечений развала сводится к решению системы уравнений /8/ с начальными условиями /9/. Для этого необходимо знать явный вид матричных элементов потенциала взаимодействия.

Получим потенциалы среднего поля $\bar{V}(r)$ и взаимодействия $V_{int}(r)$ с помощью мультипольного разложения полного потенциала, который представим в виде суммы альфа-частичного и дейтонного потенциалов:

$$V(\vec{r}) = \sum_{n=d,\alpha} V_N^n(\vec{r} - d_n \vec{p}) + V_c^n(\vec{r} - d_n \vec{p}). \quad /21/$$

Здесь \vec{r} - расстояние между центрами сталкивающихся ядер, а роль внутренней координаты играет вектор $\vec{\rho}$ относительного движения альфа-частицы и дейтона в лигнии: $\vec{\rho} = \vec{r}_d - \vec{r}_\alpha$. Ядерный потенциал $V_N^n(r)$ состоит из действительной и мнимой частей:

$$V_N^n(r) = -V_0^n f_v^n(r) - iW_0^n f_w^n(r) \quad /22/$$

с радиальной зависимостью

$$f_x^n(r) = \frac{1}{(1 + \exp((r - R_x^n)/b_x^n))} ; \quad x = v, w ; \quad R_x^n = r_{0x}^n \cdot A^{1/3}$$

$$f_w^d = (4/b_w^d) \frac{d}{dr} [1 + \exp((r - R_w^d)/b_w^d)]^{-1} . \quad /23/$$

Мультипольное разложение для кулоновской части взаимодействия имеет обычный вид:

$$V_c^n(\vec{r} - d_n \vec{\rho}) = \frac{z_T z_p e^2}{r} \sum_{\lambda \mu} \frac{4\pi}{2\lambda + 1} \left(\frac{d_n \rho}{r}\right)^\lambda Y_{\lambda \mu}^*(\hat{r}) Y_{\lambda \mu}(\hat{\rho}) . \quad /24/$$

Для получения мультипольного разложения ядерной части взаимодействия воспользуемся тем фактом, что при околорезонансных энергиях столкновения основной вклад в амплитуду возбуждения дают лишь хвосты ядерных потенциалов, которые с достаточной степенью точности можно аппроксимировать потенциалом Юкавы:

$$V_N(r) = \tilde{V}_0 \frac{e^{-\beta r}}{\beta r} ; \quad \text{при} \quad \frac{r - R}{b} > 1 . \quad /25/$$

Далее, используя соотношение

$$\frac{e^{-\beta(\vec{r} - d\vec{\rho})}}{\beta |\vec{r} - d\vec{\rho}|} = 4\pi i \sum_{\lambda \mu} j_\lambda(i d \beta \rho) h^{(1)}(i \beta r) Y_{\lambda \mu}^*(\hat{r}) Y_{\lambda \mu}(\hat{\rho}) , \quad /26/$$

где j_λ и $h_\lambda^{(1)}$ - сферические функции Бесселя и Ханкеля первого рода, получаем, с учетом /24/, мультипольное разложение для полного потенциала в виде:

$$V(\vec{r}, \rho) = \sum_{\lambda \mu} \left(\sum_{n=d, \alpha} \{ V_{N\lambda}^n(r) \mathbb{M}_N^n(\lambda \rho) + V_{c\lambda}^n(r) \mathbb{M}_c^n(\lambda \rho) \} Y_{\lambda \mu}^*(\hat{r}) Y_{\lambda \mu}(\hat{\rho}) \right), \quad /27/$$

где

$$V_{N\lambda}^n = \bar{V}_0^n \cdot 4\pi i h_\lambda^{(1)}(i\beta r); \quad V_{c\lambda}^n = \frac{z T e^2}{r\lambda + 1} \left(\frac{4\pi}{2\lambda + 1} \right) \quad /28/$$

$$\mathbb{M}_N^n(\lambda \rho) = j_\lambda(i\beta_n d_n \rho); \quad \mathbb{M}_c^n = z_n (d_n \rho)^\lambda. \quad /29/$$

В качестве центрального среднего поля естественно брать усредненное по основному состоянию лития полное взаимодействие $V(\vec{r}, \vec{\rho})$. Остальные члены разложения взаимодействия определяют $V_{int}(\vec{r}, \rho)$.

В данной задаче рассматривается область энергий вблизи кулоновского барьера $E \leq U$, где основную роль играет кулоновский потенциал, к которому примешивается хвост ядерного потенциала. Таким образом, траектория частицы остается в основном кулоновской и лишь вблизи ядра испытывает искажение. Это искажение можно учесть простой перенормировкой кулоновской траектории так, как это делалось, например, в работе /1/.

Для вычисления матричных элементов, кроме явного вида операторов перехода $\mathbb{M}(\lambda \rho)$, необходимо задать еще волновые функции основного и возбужденного состояния лития. Отметим, что структура лития и спектр его состояния изучались в ряде специальных работ /7, 8/. Для нас важным следствием этих работ является возможность выделения в литии коллективной переменной ρ , описывающей относительное движение альфа-частицы и дейтронной ассоциации, и представления волновых функций его нижайших состояний в виде:

$$|\nu\rangle = \phi_\alpha \phi_d [\bar{\phi}_{s\sigma} \Phi_{LMN}(\rho)]_{l\nu M\nu} \quad /30/$$

где ϕ_α, ϕ_d - внутренние функции альфа-частицы и дейтронной ассоциации в литии, $\Phi_{LMN}(\rho)$ - волновая функция их относительного движения, $\bar{\phi}_{s\sigma}$ - спиновая функция состояния.

Обычно в качестве $\Phi_{LMN}(\rho)$ берут осцилляторные функции. Например, функции основного 3S_1 и первого возбужденного состояния имеют вид:

$$\Phi_{LM0}({}^3S_1) = \Phi(\xi) Y_{00}(\hat{\rho}); \quad \Phi_{LM1} = \Phi(\xi) Y_{2M}(\hat{\rho}). \quad /31/$$

$$\Phi(\xi) = \frac{1}{\sqrt{4\pi} \sqrt{15}} \xi^2 e^{-\frac{\xi^2}{2}} \frac{1}{R_0^{3/2}}; \quad \xi^2 = \frac{\nu^2}{R_0^2}. \quad /32/$$

Основным параметром здесь является R_0 . Он определяет размеры лития, и его значение можно рассчитать в рамках определенных модельных представлений. Мы будем брать R_0 близким к расчетам по методу нуклонных ассоциаций и согласующихся с данными экспериментов по неупругому рассеянию электронов.

§3. Обсуждение результатов

На основе численного решения системы связанных уравнений /8/ исследовалась зависимость сечений развала от структурных параметров лития, вклад ядерного взаимодействия в канал развала, влияние канала развала на упругое рассеяние, и проводились сравнения с имеющимися экспериментальными данными. Параметры ядерных потенциалов взяты из данных по упругому рассеянию альфа-частиц и дейтронов на ядрах /9,10/ и приведены в таблице. Параметр R_0 /формула 32/ и энергия возбуждения во всех расчетах, кроме методических, на рис.1 брались равными: $R_0 = 2,05$ фм, $\Delta E = 2,184$ Мэв.

3.1. Зависимость от структурных параметров лития

На рис. 1 приведены методические расчеты полных сечений в зависимости от вариации энергий возбуждения уровня ΔE и размеров ядра ${}^6\text{Li } R_0$. Результаты сводятся к следующему:

1. На рис. 1в видно, что с увеличением ΔE сечения развала уменьшаются. При этом скорость убывания сечений больше в области кулоновского возбуждения ($E < U_B$), чем в области ядерного ($E > U_B$). Это объясняется тем, что гасящий фактор $\exp(i\Delta E t/h)$ в /8/ с ростом ΔE начинает сильно осциллировать и тем самым уменьшать вклад в сечение лишь в области значений $t \neq 0$, которые соответствуют удаленным участкам траектории, где основной вклад в сечение дает именно кулоновский потенциал.

2. Рис. 1б показывает, что сечения развала увеличиваются с ростом R_0 , причем это увеличение почти не зависит от энергии и оказывается, как и следовало ожидать, примерно пропорциональным R_0^4 .

3.2. Роль ядерного взаимодействия и эффективность канала развала

Из рис. 2а видно, что включение ядерного взаимодействия приводит к резкому, примерно на порядок величины, росту сечения развала в околобарьерной области. Таким образом, при $E \geq U$ ядерное взаимодействие становится определяющим.

Рис. 2б иллюстрирует эффективность канала развала по отношению ко всем неупругим каналам, т.е. отношение вероятности развала P_1 к вероятности всех неупругих процессов, включая и канал развала. Видно, что с увеличением энергии это отношение резко возрастает и при $E \geq U$ канал развала оказывается доминирующим над всеми остальными неупругими каналами.

3.3. Дифференциальные сечения расщепления лития

Изучение дифференциальных сечений расщепления может дать существенную информацию о деталях механизма реакции и о параметрах ядерного взаимодействия. На рис. 3а,б приведены расчеты таких сечений. Альфа-частицы и дейтоны вылетают в плоскости пучка. Если направление дейтона и его энергия фиксируются, то сечение зависит только от угла вылета альфа-частицы. Особенностью кривых является наличие острых резонансов, которые отстоят на равных расстояниях $\Delta\theta$ от угла θ_α^0 , равного углу вылета дейтона. При $\theta_\alpha = \theta_\alpha^0 \pm \Delta\theta$ энергия относительного движения альфа-частицы и дейтона равна резонансной энергии E_0 . Кривые дифференциальных сечений сильно зависят от углов вылета θ_α и θ_d . Действительно, θ_α и θ_d определяют угол рассеяния центра масс θ_k , который вместе с энергией E_k определяет амплитуды возбуждения a_{ν} .

3.4. Сравнение с экспериментом

На рис. 4 приведено сравнение теоретических расчетов по изложенному здесь методу полных сечений расщеплений лития с экспериментальными данными по реакциям ${}^6\text{Li} + {}^{58}\text{Ni}$; ${}^{120}\text{Sn}$; ${}^{208}\text{Pb}/11/$; ${}^{127}\text{Au}/12/$.

В этих экспериментах измерялось лишь полное сечение вылета альфа-частиц, т.е. канал развала не выделялся и в сечение давали вклад также все другие каналы с вылетом альфа-частиц. Тем не менее из рисунка видно, что теоретические кривые сечений развала в основном правильно описывают эксперимент. Некоторые расхождения в области надбарьерных энергий могут быть следствием вклада в сечение других процессов с вылетом α -частиц, например, сечения срыва дейтона, который в расчете не учитывался. Кроме того, надо учитывать, что развитый здесь метод квазиклассического описания развала становится неприменимым при больших энергиях падающих частиц.

В заключение выражаю искреннюю благодарность В.К.Лукиянову за постоянное внимание и интерес к работе.

Литература

1. F.Ajzenberg-Selove, L.Lauritsen. *Nucl.Phys.*, 11, 1, 1959.
2. F.Ajzenberg-Selove, L.Lauritsen. *Energy Levels of the Light Nuclei. Ann.Rev. of Nucl.Sci.*, 10, 409, 1960.
3. В.К.Лукиянов, А.И.Тимов. *Препринт ОИЯИ, Е4-6989, Дубна, 1973.*
4. J.M.Hausteen, H.W.Wittern. *Phys.Rev.*, 137, 3B, 524, 1965.
5. Я.Грабовский. *Acta Phys. Polonica*, 26, 1255, 1964.
6. А.И.Базь, Я.Б.Зельдович, А.М.Переломов. *Реакции, рассеяние и распады в нерелятивистской квантовой механике. §27. Наука, М, 1966.*
7. Ю.А.Кудеяров, Ю.Ф.Смирнов, М.А.Чеботарев. *ЯФ* 4, 1048, 1966.
8. Y.C.Tang, K.Wilderemuth, L.D.Pearlstein. *Phys.Rev.*, 123, 548, 1961.
9. Lynne McFadden, G.R.Satchler. *Nucl.Phys.* 84, 177, 1966.
10. F.Hinterberger et al. *Nucl.Phys.*, A111, 265, 1968.
11. К.О.Пфиеффер, Е.Спехт, К.Бетге. *Preprint Heidelberg Univ.*, 1972.
12. С.Е.Андерсон, У.Д.Лнох, А.Р.Квинтон. *Bull. Am. Phys.Soc.*, 5, 292, 1960.

Рукопись поступила в издательский отдел
7 мая 1973 года.

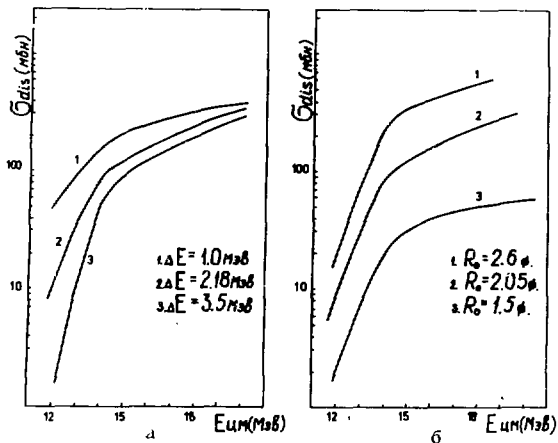


Рис. 1. Полные сечения расщепления лития в реакции типа ${}^6\text{Li} + {}^{58}\text{Ni} \rightarrow {}^{58}\text{Ni} + \alpha + d$ а. $R_0 = 2,05 \phi$; б. $\Delta E = 2,184 \text{ МэВ}$.

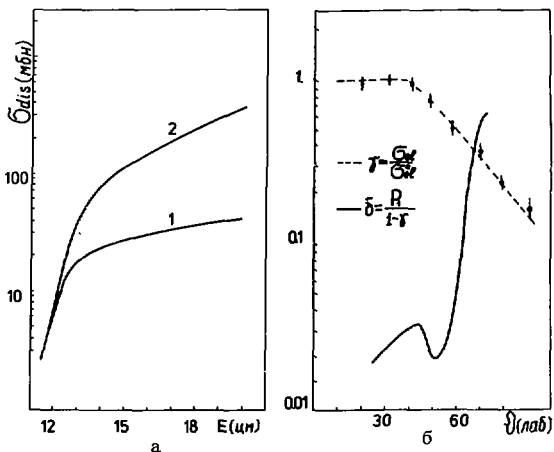


Рис. 2а. Реакции типа ${}^6\text{Li} + {}^{58}\text{Ni} \rightarrow {}^{58}\text{Ni} + \alpha + d$.
 Кривая 1 - расчет полного сечения чисто кулоновского расщепления. Кривая 2 - расщепление с учетом вклада ядерных сил. б. Эффективность канала развала. Сплошная кривая - отношение вероятности развала к вероятности всех неупругих процессов, включая канал развала. Пунктирная кривая - вероятность всех неупругих процессов. Экспериментальные точки взяты из работы /и/.

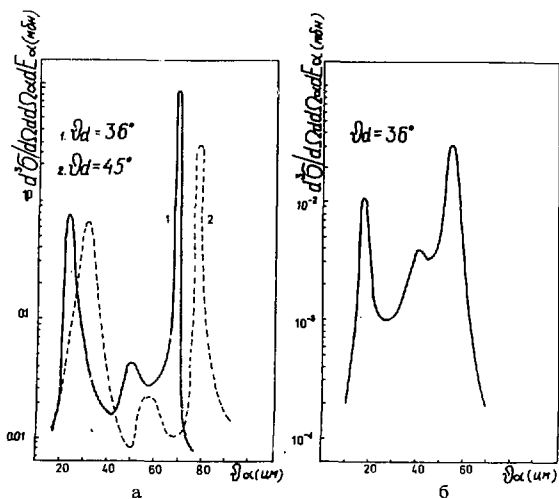


Рис. 3. Дифференциальные сечения расщепления а. Реакция ${}^6\text{Li} + {}^{58}\text{Ni} \rightarrow {}^{58}\text{Ni} + \alpha + d$ кинетическая энергия лития $E_{\text{цм}} = 20$ МэВ, энергия дейтронов $E_d = 1/3 E_{\text{цм}}$. б. Реакция ${}^6\text{Li} + {}^{208}\text{Pb} \rightarrow {}^{208}\text{Pb} + \alpha + d$, $E_{\text{цм}} = 23$ МэВ, $E_d = 1/3 E_{\text{цм}}$.

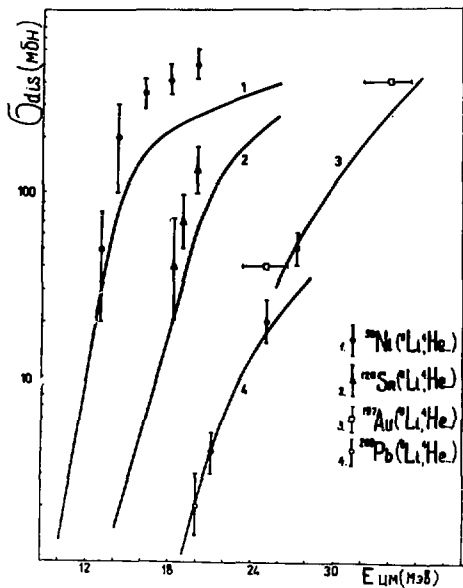


Рис. 4. Сравнение теоретических расчетов полных сечений расщепления лития в поле ядер ^{58}Ni , ^{120}Sn , ^{197}Au , ^{208}Pb с экспериментальными интегральными сечениями вылета α -частиц.

Таблица

n	V_0^n (МэВ)	r_{0V}^n (ф)	b_V^n (ф)	W_0^n (МэВ)	r_{0w}^n (ф)	b_w^n (ф)
$n = a$	185	1,40	0,52	25	1,40	0,52
$n = !$	V_D	1,05	b_v	W_D	1,28	b_w

$$V_D = 100 + 2,5 * z_T / A_T^{1/3} - 0,5 E (\text{МэВ})$$

$$b_v = 0,71 + 0,64 A_T^{1/3}$$

$$W_D = 5 + 2 * A_T^{1/3}$$

$$b_w = 0,71 + 0,02 A_T^{1/3}$$